

УДК 549.621.51; 535 [37+683]

ЛОКАЛИЗАЦИЯ ЭЛЕКТРОНОВ НА ТРЕХ ИОНАХ НАТРИЯ В КЕРАМИЧЕСКОМ НЕСТЕХИОМЕТРИЧЕСКОМ ЙОДСОДАЛИТЕ

*В. П. Денкс, Е. А. Васильченко, В. С. Корсаков,
Т. Н. Каирнер, В. О. Семан*

Люминесцентными методами (при температурах 1.85—250 К) и методом ЭПР (при 25 и 77 К) обнаружено, что в керамических нестехиометрических йодсодалитах состава $\text{Na}_6\text{Al}_6\text{Si}_6\text{O}_{24}(\text{NaI})_{2x}$, где $0.65 \leq x \leq 0.85$, при $T < 100$ К происходит новая для твердого тела локализация зонного электрона (e^-) в бездефектных цеолитовых полостях структуры на трех ионах Na^+ , т. е. создание центров $(\text{Na}^+)_3e^-$.

Нестехиометрические галогенсодалиты состава $\text{Na}_6\text{Al}_6\text{Si}_6\text{O}_{24}(\text{NaHal})_{2x}$, где Hal—Cl, Br или I и $0.5 \leq x \leq 0.9$, нашли широкие практические применения в качестве реверсивных запоминающих сред (запись информации электронным пучком, регистрация ионизирующих излучений) [1, 2]. Особенностью их кристаллической структуры является образование алюмосиликатным каркасом трехмерной системы полостей (ячеек) с внутренним диаметром ~ 6.6 Å [3]. При $x=1$ и 0 в химической формуле содалита имеем стехиометрические содалит и цеолит Ж [4] соответственно; а при $0 < x < 1$ — твердофазный раствор содалита и цеолита, в котором в общем алюмосиликатном каркасе статистически перемешаны ячейки с содалитовым $(\text{Na}^+)_4\text{Hal}^-$ и цеолитовым $(\text{Na}^+)_3$ заполнением. При облучении таких содалитов ионизирующей радиацией при 300 К электроны запасаются в дефектных ячейках, содержащих вакансию галогена (F-центры окраски с концентрацией до 10^{20} см $^{-3}$), а дырки в ячейках, содержащих вакансию натрия (V_F -центр) или на более сложных молекулярных галоидных центрах [2].

В настоящем сообщении мы впервые покажем, что низкотемпературное (4.2—77 К) облучение нестехиометрических йодсодалитов приводит к новому виду локализации зонных электронов в бездефектных цеолитовых ячейках, содержащих по три иона Na^+ .

Основными объектами исследования являлись однофазные оптически прозрачные керамические йодсодалиты [5] с x от 0.65 до 0.85 (концентрация цеолитовых ячеек $\sim 1 \cdot 10^{21}$ и $\sim 0.5 \cdot 10^{21}$ см $^{-3}$ соответственно, при суммарной концентрации ячеек $\sim 2.7 \cdot 10^{21}$ см $^{-3}$). Рентгенизация таких объектов при 4.2 К (время облучения до 15 мин, дозы до 10^3 Гр) приводит в отличие от облучения при $T > 100$ К [2] к появлению высокоинтенсивных туннельной люминесценции (ТЛ) и последующего термовысвечивания (ТВ) (кривые 1 и 3 рис. 1). В диапазоне $T \approx 1.85-15$ К кинетика ТЛ практически не зависит от температуры, а в спектре ТЛ наблюдаются (кривая 4 рис. 2) известные ранее [2] УФ полосы свечения галоидных центров (кинетика затухания одного из них — кривая 2 рис. 1) и в видимой области полосы свечения кислородных дефектов каркаса. Оценки энергетического выхода суммарного послесвечения (ТЛ+ТВ) дали величину порядка 1 %.

Для поиска центров, связанных с запасанием таких больших светосумм, использовался метод фотостимулированной люминесценции (ФСЛ),

т. е. регистрация интенсивности свечения (вспышки), возникающего при оптическом освобождении электронов (дырок) из ловушек и рекомбинации их с дырочными (электронными) центрами. При 4.2 К спектр стимуляции образца, рентгенизованного при 250 К, содержит только F-полосу (кривая 3 рис. 2): свечение возникает при рекомбинации элек-

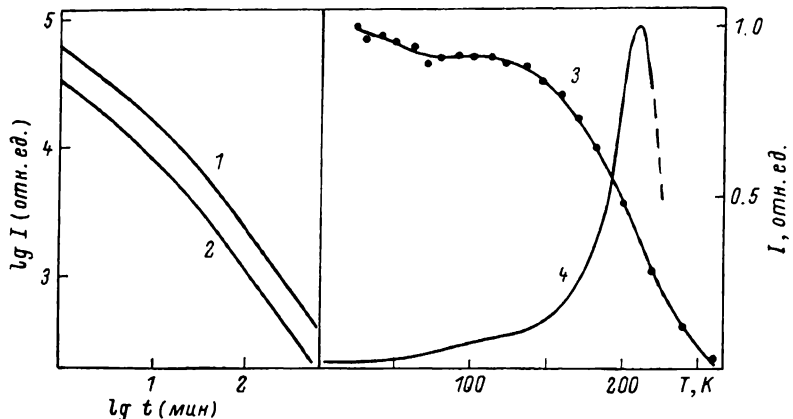


Рис. 1. Кинетики затухания при 4.2 К интегральной люминесценции (1) и в полосе с максимумом при 4.2 эВ (2), кривые интегрального термовысвечивания (3) и изохронного отжига сигнала ЭПР от центров $(\text{Na}^+)_3e^-$ (4):

Температуры рентгенализации иодсодалита 4.2 (1—3) и 25 К (4).

tronov, освобожденных из F-центров, с галоидными дырочными V_F -центрами (кривая 8 рис. 2) [2]. В спектре же стимуляции образца, рентгенизованного при 4.2 К, доминирует неизвестная ранее ИК полоса (кривая 1 рис. 2). При этом спектры излучения при ИК и F-стимуляции совпадают (кривые 5 и 6 рис. 2), откуда следует, что обнаруженные новые

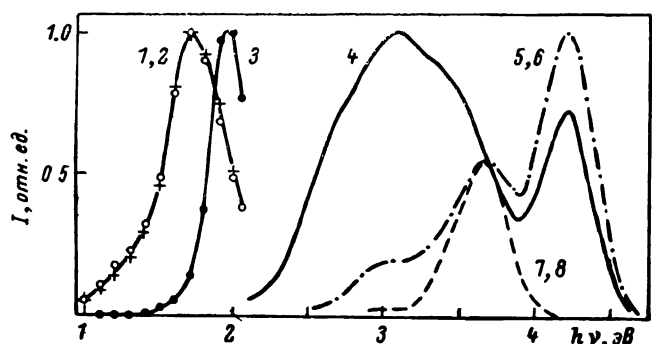


Рис. 2. Спектры стимуляции свечения (1—3, неисправленные) и излучения (4—8, исправленные) иодсодалита при 4.2 К: тунNELьная люминесценция (4), стимулированная в ИК полосе (5, 7) и в F-полосе (6, 8).

Температуры рентгенализации: 4.2 К (1, 4—6), 250 К (3, 8) и 250 К с последующим высвечиванием в F-полосе при 4.2 К (2, 7).

центры суть электронные. Поскольку высвечивание в ИК полосе полностью ликвидирует запасенную светосумму, то эти электронные центры прямо связаны с обнаруженными ТЛ и ТВ.

Расшифровать природу обнаруженных электронных центров удалось с помощью метода ЭПР, при этом спектры образцов, облученных и изменивших при 77 К (рис. 3), практически совпали со спектрами, полученными при 25 К. Параметры ЭПР сигнала ($g=2.000 \pm 0.001$, десятикомпонентная суперсверхтонкая структура, ССТС, с линиями равной ширины и расстоянием между линиями $A=37.1$ Гц) допускают в структуре содалита только одну интерпретацию: взаимодействие спина неспаренного

электрона (e^-) с ядерными спинами трех эквивалентных ядер ^{23}Na ($I=3/2$, распространенность в природе 100 %). С этой моделью хорошо согласуется ход интенсивности линий ССТС в спектре ЭПР, а также тот факт, что величина A для нашего центра на 1/3 больше, чем у F -центров в иодсодалите [6], в которых захваченный галоидной вакансиеей электрон взаимодействует с четырьмя ядрами ^{23}Na , тетраэдрически окружающими галоидную вакансию в одной ячейке структуры.

В структуре исследованных нестехиометрических иодсодалитов группировки из трех эквивалентных ядер ^{23}Na находятся только в бездефектных цеолитовых ячейках (концентрации до 10^{21} см^{-3}). Поэтому окончательно заключаем, что локализация зонных электронов в наших объектах при $T < 100$ К происходит именно в этих ячейках структуры, где и образуются центры $(\text{Na}^+)_3e^-$.

Оптический заброс электронов в зону проводимости иодсодалитов также приводит к их локализации. Рентгенизированные при $T \geq 250$ К образцы, содержащие $\sim(10^{18}-10^{19}) \text{ см}^{-3}$ F -центров, облучались F -светом либо при 77 К — уменьшался ЭПР сигнал от F -центров и появлялся ЭПР сигнал от центров $(\text{Na}^+)_3e^-$, либо при 4.2 К —

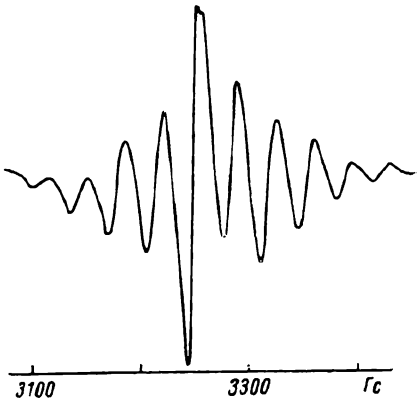


Рис. 3. Спектр ЭПР сигнала от центров $(\text{Na}^+)_3e^-$ в иодсодалите: рентгенизация и измерение при 77 К; $v=9.14$ ГГц.

появлялись интенсивные ТЛ, ИК вспышка (см. рис. 2) и ТВ с практически прежними параметрами.

Изохронный отжиг сигнала ЭПР от центров $(\text{Na}^+)_3e^-$ хорошо коррелирует с кривой ТВ (рис. 1), причем по мере разрушения этих центров в спектре ЭПР появляется сигнал от F -центров. Из этого и других фактов однозначно следует, что локализованные на трех ионах Na^+ электроны становятся при $T > 100$ К подвижными и частично излучательно рекомбинируют с дырочными центрами, частично захватываются глубокими ловушками.

Неожиданным оказался тот факт, что нам не удалось зарегистрировать теми же методами центр $(\text{Na}^+)_3e^-$ в однофазных порошковых иодсодалитах с $x \approx 0.3-0.8$ и размером зерен до 1 мкм (размер зерна в керамике порядка 0.1 мкм). Будущие эксперименты должны ответить на вопрос, является ли обнаруженная локализация зонного электрона на катионах Na^+ в нестехиометрическом иодсодалите следствием «керамичности» объекта или нет.

Авторы благодарят Ч. Б. Лущика за полезные обсуждения результатов, В. А. Демиденко за предоставление большей части объектов исследования и А. А. Хаава за предоставление рентгеноструктурной информации о содалитах.

Л и т е р а т у р а

- [1] Faughnan B. W., Gorog I., Heyman P. M., Shidlovsky I. Advances in image pickup and display, 1981, vol. 4, p. 87—155.
- [2] Денкс В. П. Труды ИФ АН ЭССР, 1985, т. 55, с. 14—71.
- [3] Бреек Д. Цеолитовые молекулярные сита. М.: Мир, 1976. 781 с.
- [4] Шишакова Т. Н., Дубинин М. М. Изв. АН СССР, сер. хим., 1966, № 11, с. 2020—2022.
- [5] Волынец Ф. К., Демиденко В. А., Денисов Р. А., Денкс В. П. Письма в ЖТФ, 1982, т. 8, № 4, с. 232—236.
- [6] McLaughlan S. D., Marshall D. J. Phys. Lett., 1970, vol. 32A, № 5, p. 343—344.